

ΕΕ725 - Ειδικά Θέματα Ψηφιακών

Επιχονιωνών

Δημήτρης - Αλέξανδρος Τουμπακάρης

6ο Μάθημα - 30 Μαρτίου 2009

Περιεχόμενα σημερινού καιήματος

- Κατηγορίες Αστεροειδών (συνέχεια)

- PAM και QAM

Ορθογώνιοι Αστερισμοί (**Orthogonal Constellations**)

- Για τους κυβικούς αστερισμούς είδαμε ότι $N = b$.
- Στους ορθογώνιους αστερισμούς, ο αριθμός σημάτων, M , είναι ανάλογος της διάστασης. Επομένως, $M = \alpha N \Rightarrow b = \log_2 M = \log_2 \alpha N \Rightarrow \bar{b} = \frac{\log_2 \alpha N}{N}$.
- Ο αριθμός των bits ανά διάσταση ελαττώνεται όσο αυξάνεται το N !

Παραδείγματα ορθογώνιων αστερισμών

- Block orthogonal: $M = N \Rightarrow$ Μία συνάρτηση βάσης για κάθε σήμα (αήγαλμα).
 - $\mathbf{x}_i = [0 \dots 0 \sqrt{\mathcal{E}_x} 0 \dots 0]$. $x_i(t) = \sqrt{\mathcal{E}_x} \phi_i(t)$.
 - Frequency Shift Keying (FSK): $\phi_m(t) = \sqrt{\frac{2}{T}} \sin \frac{m\pi t}{T}$, $t \in [0, T]$, 0 αλλού.
 - Ποιά είναι η d_{\min} των block orthogonal;
 - P_e του αστερισμού block orthogonal (βλ. π.χ. Cioffi Ch. 1):

$$P_e = 1 - \int_{-\infty}^{\infty} \frac{1}{\sqrt{2\pi\sigma^2}} e^{-\frac{1}{2\sigma^2}(u - \sqrt{\mathcal{E}_x})^2} [1 - Q(u/\sigma)]^{N-1} du.$$
 - Η $E[\mathbf{x}]$ του αστερισμού block orthogonal είναι μη μηδενική (και ίση με $(\sqrt{\mathcal{E}_x}/M)[1 \ 1 \ \dots \ 1]$).
- Αστερισμός simplex: Block orthogonal μεταποιημένος κατά $-(\sqrt{\mathcal{E}_x}/M)[1 \ 1 \ \dots \ 1]$ ώστε η $E[\mathbf{x}]$ να ισούται με 0 (και να ελαχιστοποιηθεί, έτσι, η μέση ενέργεια). Τα σήματα δεν είναι, πλέον, ορθογώνια μεταξύ τους.

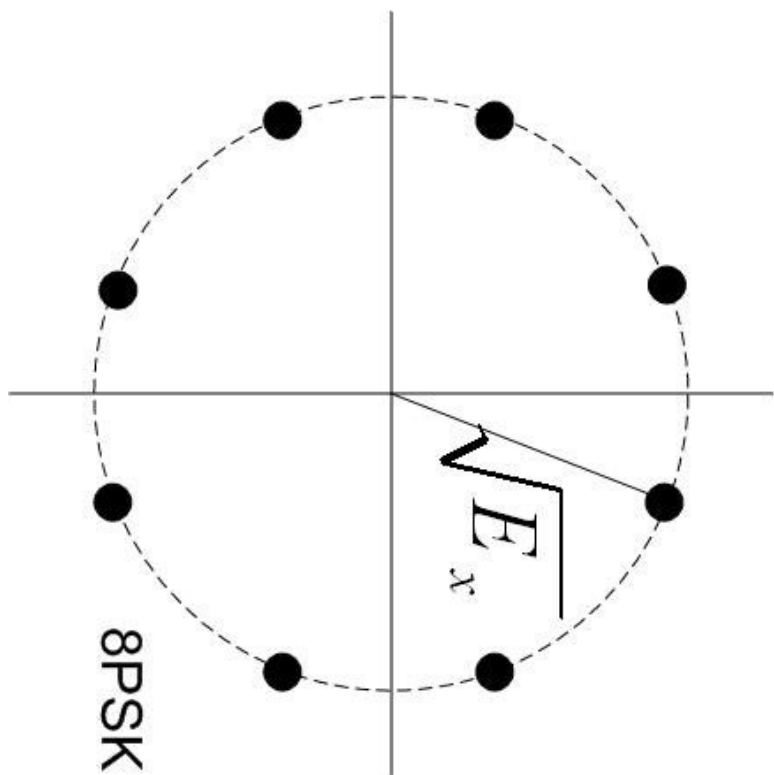
Παραδείγματα ορθογώνιων αστερισμάν (2)

- **Biorthonal** αστερισμοί: Προκύπτουν από τους ορθογώνιους αστερισμούς με προσθήκη του αντίθετου σήματος $-x$ για κάθε σήμα x .
$$- P_{e,\text{biorthonormal}} = 1 - \int_0^{\infty} \frac{1}{\sqrt{2\pi\sigma^2}} e^{-\frac{1}{2\sigma^2}(u-\sqrt{\varepsilon_x})^2} [1 - 2Q(u/\sigma)]^{N-1} du.$$
- **Pulse Position Modulation (PPM)**: Παλμοί σε διαφορετική θέση στο χρόνο.
- **Pulse Duration Modulation (PDM)**: Παλμοί διαφορετικής διάρκειας.
Τα σήματα δεν είναι ορθογώνια. Χρήση σε οπτική αποθήκευση δεδομένων ($\pi \cdot \chi$. CD).

Κυκλικοί Αστερισμοί (Circular Constellations) – MPSK

- Τα σήματα του αστερισμού τοποθετούνται επάνω σε κύκλο μκτίνας $\sqrt{\mathcal{E}_x}$, και σε ίσες μεταξύ τους αποστάσεις. $N = 2$.
- Μόνο η φάση των σημάτων διαφέρει \Rightarrow MPSK κατάλληλη για διαμόρφωση σε κανάλια με μη γραμμική παραμόρφωση πλάτους (π.χ. κανάλια διαλείψεων).
- NNUB: $P_e < 2Q \left[\frac{\sqrt{\mathcal{E}_x} \sin \frac{\pi}{M}}{\sigma} \right]$.

Tutorial: 8-PSK

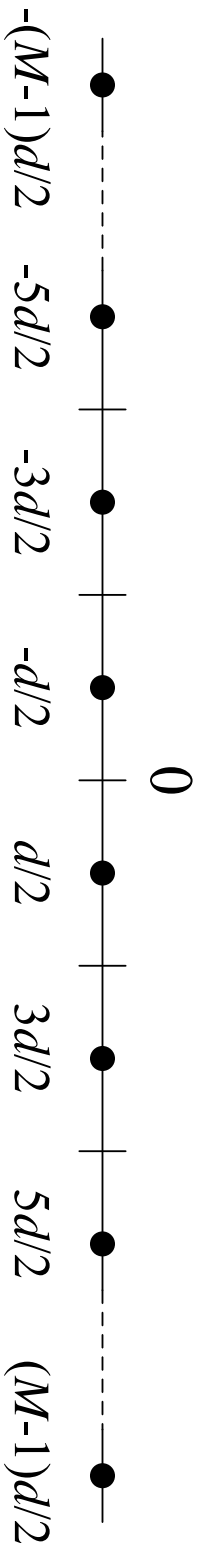


PAM και QAM

- Κατηγορίες Αστερισμών
- **PAM και QAM**
 - Cioffi Ch. 1

Διαμόρφωση Πλάτους Πολυμού

Pulse Amplitude Modulation – PAM



- $N = \log_2 M$ bits /μετάδοση.
- Θεωρητικά $\phi(t) = \frac{1}{\sqrt{T}} \text{sinc}\left(\frac{t}{T}\right)$. Στην πράξη, συνήθως raised cosine.
- $d_{\min} = d$.

• Με πρόξενη (βλ. π.χ. Cioffi Ch. 1):

$$\mathcal{E}_x = \bar{\mathcal{E}}_x = \frac{d^2}{12} [M^2 - 1]$$

$$d = \sqrt{\frac{12\mathcal{E}_x}{M^2 - 1}} \Rightarrow M = \sqrt{\frac{12\mathcal{E}_x}{d^2} + 1} \Rightarrow b = \log_2 M = \frac{1}{2} \log_2 \left(\frac{12\mathcal{E}_x}{d^2} + 1 \right)$$

Pulse Amplitude Modulation – PAM (2)

- $\mathcal{E}_x(b+1) = 4\mathcal{E}_x(b) + \frac{d^2}{4}$. Για αρκούντως μεγάλες τιμές του b απαιτείται $4\pi\lambda/\sigma$ συνέργεια (~ 6 dB επιπλέον) για τη μετάδοση ενός επιπλέον bit.

- Υπολογισμός πιθανότητας σφάλματος:

- Για τα $M - 2$ εσωτερικά σημεία: $P_{c|i} = 1 - 2Q\left(\frac{d}{2\sigma}\right)$.
- Για τα 2 εξωτερικά σημεία: $P_{c|i} = 1 - Q\left(\frac{d}{2\sigma}\right)$.
- Επομένως, $P_c = \frac{M-2}{M}\left(1 - 2Q\left(\frac{d}{2\sigma}\right)\right) + \frac{2}{M}\left(1 - Q\left(\frac{d}{2\sigma}\right)\right) = 1 -$

$$2\left(1 - \frac{1}{M}\right)Q\left(\frac{d}{2\sigma}\right) \Rightarrow \boxed{P_e = \bar{P}_e = 2\left(1 - \frac{1}{M}\right)Q\left(\frac{d}{2\sigma}\right) < 2Q\left(\frac{d}{2\sigma}\right)}$$

- Η προσέγγιση (NNUB) γίνεται πιο ακριβής καθώς $M \rightarrow \infty$.

– Με χρήση σχέσεων προηγούμενης διαφάνειας,

$$\boxed{P_e = 2\left(1 - \frac{1}{M}\right)Q\left(\sqrt{\frac{3}{M^2 - 1} \text{SNR}}\right)}$$

Pulse Amplitude Modulation – PAM (3)

Στον πίνακα (βλ. επίσης Cioffi Ch. 1) έχει υπολογιστεί ο απαιτούμενος SNR για σταθερή $P_e = 10^{-6}$ και διαφορετικό αριθμό bits/μετάδοση. Επίσης, έχει υπολογιστεί η τιμή του SNR για οποία απαιτείται ώστε η χωρητικότητα του καναλιού AWGN να ισούται με b bits/μετάδοση. Παρατηρούμε ότι η διαμόρφωση PAM για $P_e = 10^{-6}$ έχει απώλειες περίπου 9 dB σε σχέση με τη βέλτιστη διαμόρφωση την οποία επιτυγχάνεται ρυθμός μετάδοσης ίσος με τη χωρητικότητα του καναλιού.

b	M	$\frac{d}{2\sigma} \gamma_{\text{tia}}$ $P_e = 10^{-6}$ [dB]	SNR [dB]	$\alpha\bar{\xi}\eta\sigma\eta$ του SNR [dB]	$2^{2b} - 1$ [dB]
1	2	13.53	13.53	—	4.77
2	4	13.69	20.68	7.15	11.76
3	8	13.75	26.97	6.29	17.99
4	16	13.77	33.06	6.09	24.07
5	32	13.78	39.10	6.04	30.10
6	64	13.79	45.14	6.04	36.12

H προσέγγιση Gap

- Είδαμε ότι $P_e = 2 \left(1 - \frac{1}{M}\right) Q \left(\sqrt{\frac{3}{M^2-1} \text{SNR}}\right)$.
- Επομένως,

$$\frac{MP_e}{2(M-1)} = Q \left(\sqrt{\frac{3}{M^2-1} \text{SNR}} \right) \Rightarrow$$

$$\left[Q^{-1} \left(\frac{MP_e}{2(M-1)} \right) \right]^2 = \frac{3}{M^2-1} \text{SNR} \Rightarrow$$

$$M^2 = \left(2^b\right)^2 = 1 + \frac{3 \text{SNR}}{\left[Q^{-1} \left(\frac{MP_e}{2(M-1)} \right) \right]^2} \Rightarrow b = \frac{1}{2} \log_2 \left(1 + \frac{\text{SNR}}{\Gamma(P_e, M)} \right),$$

όπου $\Gamma(P_e, M) = \frac{3}{\left[Q^{-1} \left(\frac{MP_e}{2(M-1)} \right) \right]^2}$ είναι το Gap.

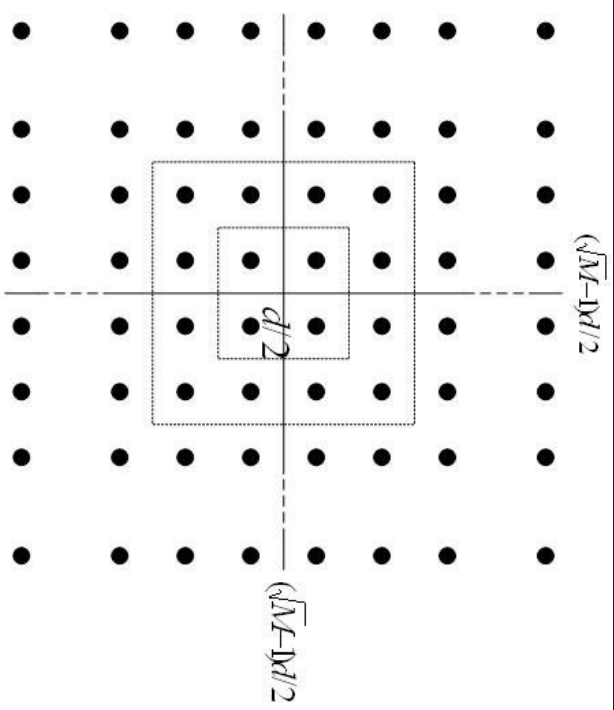
Η προσέγγιση **Gap** (2)

$$b = \frac{1}{2} \log_2 \left(1 + \frac{\text{SNR}}{\Gamma(P_e, M)} \right), \quad \Gamma(P_e, M) = \frac{3}{\left[Q^{-1} \left(\frac{M P_e}{2(M-1)} \right) \right]^2}.$$

- Η προσέγγιση **Gap** προτάθηκε από τον D. Forney.
- Το **Gap** ισούται με το “πρόστιμο” που πρέπει να καταβάλουμε σε ενέργεια επειδή χρησιμοποιούμε υποβέλτιστο τρόπο μετάδοσης στο κανάλι AWGN.
- Η προσέγγιση είναι ακριβής για $b \geq 1$ και, επομένως, για PAM και QAM.
- Παρατηρήστε ότι εξαρτάται από την P_e και, επίσης, ότι $\Gamma(P_e) \rightarrow \frac{3}{[Q^{-1}(P_e/2)]^2}$ για $M \rightarrow \infty$. Για $P_e = 10^{-6}$, $\Gamma \rightarrow 9$ dB.
- Η προσέγγιση **Gap** απλοποιεί το σχεδιασμό και την ανάλυση συστημάτων, αφού μπορούμε να χρησιμοποίησουμε τον τύπο του Shannon για τη χωρητικότητα.
- Επεκτείνεται και σε περιπτώσεις όπου χρησιμοποιείται κωδικοποίηση. Στην περίπτωση αυτή $\Gamma = \Gamma_{\text{PAM}} / \gamma_{\text{code}} < \Gamma_{\text{PAM}}$.

Διαμόρφωση Πλάτους με Ορθογώνισμό Φάσης

Quadrature Amplitude Modulation – QAM



- Γενίκευση της PAM σε $N = 2$ διαστάσεις.
- Στο σχήμα απεικονίζεται ο αστερισμός Square QAM (SQ-QAM) ο οποίος αντιστοιχεί σε ζυγό αριθμού bits b .

Quadrature Amplitude Modulation – QAM (2)

- Ως συναρτήσεις βάσης χρησιμοποιούνται (θεωρητικά) οι $\phi_1(t) = \sqrt{\frac{2}{T}} \text{sinc}\left(\frac{t}{T}\right) \cos(2\pi f_c t)$ και $\phi_2(t) = \sqrt{\frac{2}{T}} \text{sinc}\left(\frac{t}{T}\right) \sin(2\pi f_c t) \rightarrow \underline{\zeta_{\text{ωνοπερατή}} \text{(bandpass)} \underline{\mu\text{ετάδοση}}}$.
- Μέση ενέργεια αστερισμού SQ-QAM: Με πρότερης (βλ. π.χ. Cioffi Ch. 1), $\mathcal{E}_{M-\text{QAM}} =$

$$2\mathcal{E}_{\sqrt{M}-\text{PAM}} \Rightarrow \boxed{\mathcal{E}_{M-\text{QAM}} = d^2 \frac{M-1}{6}} \Rightarrow \bar{\mathcal{E}}_{M-\text{QAM}} = d^2 \frac{M-1}{12} \Rightarrow$$

$$\boxed{d = \sqrt{\frac{6\mathcal{E}_x}{M-1}}} \Rightarrow M = \frac{6\mathcal{E}_x}{d^2} + 1 \Rightarrow \boxed{\bar{b} = \frac{1}{2} \log_2 \left(\frac{6\mathcal{E}_x}{d^2} + 1 \right) = \frac{1}{2} \log_2 \left(\frac{12\bar{\mathcal{E}}_x}{d^2} + 1 \right)},$$

ίσο με την PAM (λογικό – γιατί;)

Quadrature Amplitude Modulation – QAM (3)

- $\mathcal{E}_x(b+1) = 2\mathcal{E}_x(b) + \frac{d^2}{6}$. Για αρκούντως μεγάλες τιμές του b απαιτείται διπλάσια ενέργεια (~ 3 dB επιπλέον) για τη μετάδοση ενός επιπλέον bit (ανά διδάστατο σύμβολο).
- Υπολογισμός πιθανότητας σφάλματος:
 - Για τα 4 γωνιακά σημεία: $P_{c|i} = \left(1 - Q\left(\frac{d}{2\sigma}\right)\right)^2$
 - Για τα $(\sqrt{M} - 2)^2$ εσωτερικά σημεία: $P_{c|i} = \left(1 - 2Q\left(\frac{d}{2\sigma}\right)\right)^2$
 - Για τα $4(\sqrt{M} - 2)$ πλευρικά σημεία: $P_{c|i} = \left(1 - Q\left(\frac{d}{2\sigma}\right)\right)\left(1 - 2Q\left(\frac{d}{2\sigma}\right)\right)$
- Με πρόζειση,
$$P_e = 2\bar{P}_e = 4 \left(1 - \frac{1}{\sqrt{M}}\right) Q\left(\frac{d}{2\sigma}\right) - 4 \left(1 - \frac{1}{\sqrt{M}}\right)^2 \left(Q\left(\frac{d}{2\sigma}\right)\right)^2 \Rightarrow$$
- To SNR είναι ανά διάσταση ($= \bar{\mathcal{E}}_x / \sigma^2$).
 - Η προσέγγιση $\overline{\text{NNUB}}$ γίνεται πιο ακριβής καθώς $M \rightarrow \infty$.

Quadrature Amplitude Modulation – QAM (4)

Στον πίνακα (βλ. επίσης Cioffi Ch. 1) έχει υπολογιστεί ο απαιτούμενος SNR για σταθερή $\bar{P}_e = 10^{-6}$ και διαφορετικό αριθμό bits/μετάδοση. Επίσης, έχει υπολογιστεί η τιμή του **SNR** η οποία απαιτείται ώστε η χωρητικότητα του καναλιού **AWGN** να ισούται με b bits/μετάδοση. Παρατηρούμε ότι η διαμόρφωση QAM για $P_e = 10^{-6}$ έχει απώλειες περίπου 9 dB (το **Gap**) σε σχέση με τη βέλτιστη διαμόρφωση ρυθμός μετάδοσης ίσος με τη χωρητικότητα του καναλιού.

$b = 2\bar{b}$	M	$\frac{d}{2\sigma} \gamma u \alpha$ $\bar{P}_e = 10^{-6}$ [dB]	SNR [dB]	αύξηση του SNR ανά bit [dB]	$2^{2\bar{b}} - 1$ [dB]
2	4	13.53	13.53	—	4.77
4	16	13.69	20.68	3.58	11.76
6	64	13.75	26.97	3.15	17.99
8	256	13.77	33.06	3.05	24.07
10	1024	13.78	39.10	3.02	30.10
12	2048	13.79	45.14	3.02	36.12

PAM ή QAM:

- Είδαμε ότι, για δεδομένη ενέργεια ανά διάσταση, η d_{\min} της BPSK ισούται με τη d_{\min} της QPSK. Επομένως, η QPSK απαιτεί διπλάσια συνολική ενέργεια για να μεταδώσει διπλάσια bits από ό,τι η BPSK.
- Τι θα συνέβαινε, όμως, εάν χρησιμοποιούσαμε μία διάσταση (δηλαδή 4-PAM) για να μεταδώσουμε 2 ψηφία;
- Από τις σχέσεις για την PAM (ή χρησιμοποιώντας το Gap) προκύπτει ότι χρειαζόμαστε $\mathcal{E}_{4\text{-PAM}} = \frac{5}{4}d_{\min}^2$.
- Αντίθετα, $\mathcal{E}_{\text{QPSK}} = \frac{1}{2}d_{\min}^2$.
- Συνεπώς, $\mathcal{E}_{4\text{-PAM}}/\mathcal{E}_{\text{QPSK}} = 5/2 \approx 4$ dB!

PAM ή QAM; (2)

- Το αποτέλεσμα αυτό, ότι δηλαδή συμφέρει να χρησιμοποιήσουμε QPSK αντί για 4-PAM για δεδομένη διαθέσιμη συνολική τσχύ στον πομπό, αποτελεί ειδική περίπτωση μιας πολύ σημαντικής ιδιότητας της γεωμετρίας που ονομάζεται **sphere packing**.
- Σύμφωνα με την ιδιότητα **sphere packing**, σφαίρες δεδομένης ακτίνας r "γεμίζουν" καλύτερα έναν υπόχωρο δεδομένης ακτίνας R όσο η διάσταση, N , του υποχώρου αυξάνεται.
- Εδώ ο υπόχωρος περιλαμβάνει όλα τα πιθανά σήματα που λαμβάνονται στον πομπό. Το κέντρο κάθε σφαίρας είναι το σύμβολο που μεταδόθηκε, ενώ η ακτίνα της, r , ισούται με την τιμή του θορύβου που υπερτίθεται στο σήμα. Η ακτίνα, R του υποχώρου είναι της τάξης $\sqrt{\mathcal{E}_x} + \sigma$ (αλλά, θεωρητικά, άπειρη).
- Επομένως, για δεδομένη διαθέσιμη τσχύ στην είσοδο, ο αριθμός των μηνυμάτων που μπορούμε να μεταδώσουμε σε ένα κανάλι **AWGN** δεδομένης διασποράς θορύβου αυξάνεται αυξάνει ο αριθμός των διαστάσεων, N .
- Η ιδιότητα αυτή αποτελεί τη βάση της απόδειξης του Θεωρήματος Κωδικοποίησης για το Γκαουσιανό Κανάλι.

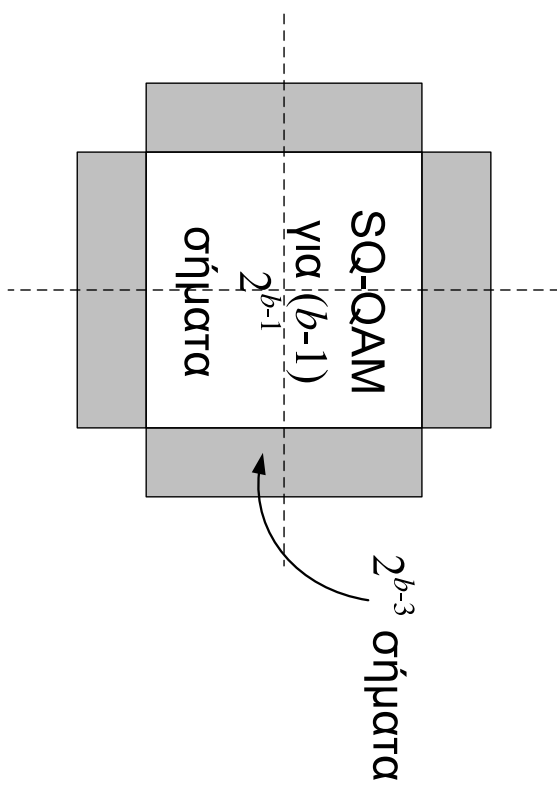
PAM ή QAM; (3)

- Επομένως, στις ψηφιακές επικοινωνίες ενδέκυνται να χρησιμοποιούμε όσο περισσότερες διαστάσεις μπορούμε.
 - Εάν έχουμε διαθέσιμες θυρίδες στο χρόνο (**TDMA**), είναι καλύτερα να μεταδόσουμε μικρούς αστερισμούς σε πολλές θυρίδες, παρά μεγάλους αστερισμούς σε λίγες.
 - Εάν μπορούμε να χρησιμοποιήσουμε περισσότερες από μία περιοχή συχνοτήτων (**FDMA**), είναι καλύτερα να “σπάσουμε” τα δεδομένα μας σε περισσότερες από μία ροές μικρότερου ρυθμού.
- Διαισθητικά: Για χαμηλά **SNR** η χωρητικότητα του καναλού αλζάνει (σχεδόν) γραμμικά, ενώ για μεγάλα **SNR** η αύξηση είναι λογαριθμική. Επομένως, σε χαμηλά **SNR**, δεδομένη αύξηση της ισχύος οδηγεί σε μεγαλύτερη αύξηση της χωρητικότητας (αναλογικά).
- Μια άλλη οπτική: Η πιθανότητα ο ύδρυβος να είναι μεγαριά από τη μέση του και στις N διαστάσεις (με αποτέλεσμα να βρεθούμε πιο κοντά σε άλλη σφαίρα) είναι μικρότερη από την πιθανότητα ο ύδρυβος να είναι μεγάλος σε $n < N$ διαστάσεις (από το υόμιο των μεγάλων αριθμών).

Παράδειγμα: Ψηφιακή Δορυφορική Εκπομπή (Cioffi 1.6.3)

- Διαμόρφωση: **4-QAM**.
- 20 φέρουσες, μεταξύ 12.2 και 12.7 GHz.
- Ρυθμός μετάδοσης συμβόλου (symbol rate): $\frac{1}{T} = 19.151$ MHz.
- Εύρος ζώνης: 24 MHz. Γιατί δεν είναι ίσο με $\frac{1}{T}$;
- Επομένως, ρυθμός μετάδοσης δεδομένων (data rate): $R = 38.302$ Mbps σε κάθε φέρουσα.
- Για τη μετάδοση video απαιτούνται περίπου 2-3 Mbps → έως 16 κανάλια ανά φέρουσα.
- Για τα αναλογικά κανάλια χρησιμοποιείται κανάλι 24 MHz. Επομένως, με την ψηφιακή μετάδοση έχουμε εξοικονόμηση φάσματος. Αυτό οφείλεται σε μεγάλο βαθμό στη συμπίεση του video.
- Παρατηρήστε ότι ο ρυθμός μετάδοσης δεδομένων εξαρτάται από το εύρος ζώνης, αλλά δεν ισούται με αυτό. Η ισότητα ισχύει μόνο στην περίπτωση που στέλνεται 1 bit/μετάδοση.

Μετάδοση περιπτού b : Cross QAM – CR-QAM



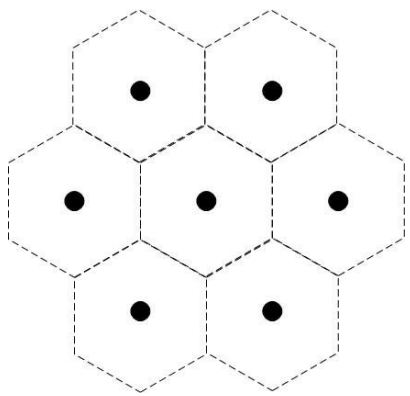
- Για τους αστερισμούς CR-QAM ισχύουν τα παρακάτω:

$$\mathcal{E}_x = \frac{d^2}{6} \left(\frac{31}{32} M - 1 \right), \quad d = \sqrt{\frac{31}{32} M - 1}, \quad \bar{b} = \frac{1}{2} \left(\frac{32}{31} \frac{6\mathcal{E}_x}{d^2} + 1 \right).$$

Cross QAM (2)

- $\mathcal{E}_x(b+1) = 2\mathcal{E}_x(b) + \frac{d^2}{6}$.
- Πιθανότητα Σφάλματος (προσέγγιση): $P_e < 4 \left(1 - \frac{1}{\sqrt{2M}}\right) Q\left(\frac{d}{2\sigma}\right) \Rightarrow \bar{P}_e \approx 2 \left(1 - \frac{1}{2^{\bar{b}+0.5}}\right) Q\left(\sqrt{\frac{3SNR}{\frac{31}{32}M-1}}\right)$.
- Για πάρχουν και άλλοι τρόποι να κατασκευαστεί αστερισμός QAM για μονό b , αλλά ο CR-QAM υπερτερεί σε εξουκούμηση ενέργειας.

Εξαγωνικοί Αστερισμοί



- Επιτυγχάνουν τη βέλτιστη εκμετάλλευση του χώρου στις 2 διαστάσεις.
Μπορεί να αποδειχθεί ότι υπερτερούν κατά 0.625 dB σε σχέση με τους αστερισμούς QAM.
- Μειούνται: Μεγαλύτερη πολυπλοκότητα κωδικοποίησης/αποκωδικοποίησης.